



СООБЩЕНИЯ  
ОБЪЕДИНЕННОГО  
ИНСТИТУТА  
ЯДЕРНЫХ  
ИССЛЕДОВАНИЙ

ДУБНА

С 342 а

Б - 73

146 / 2 - 79

Я.Боганч, А.Надь, А.Сабо

15 | 1 - 79

P11 - 11800

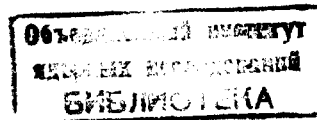
ОПРЕДЕЛЕНИЕ ПРОБЕГОВ  $\alpha$ -ЧАСТИЦ  
В МНОГОКОМПОНЕНТНЫХ ВЕЩЕСТВАХ

**1978**

P11 - 11800

Д.Боганч, А.Надь, А.Сабо

ОПРЕДЕЛЕНИЕ ПРОБЕГОВ  $\alpha$ -ЧАСТИЦ  
В МНОГОКОМПОНЕНТНЫХ ВЕЩЕСТВАХ



Боганч Я., Надь А., Сабо А.

P11 - 11800

Определение пробегов  $\alpha$ -частиц в многокомпонентных веществах

Описан математический (на основе  $dE/dx$ ) метод расчета пробегов ( $\bar{R}_p$ )  $\alpha$ -частиц в различных многокомпонентных веществах. Целью работы являлось определение концентрации и распределения бора в тонких поверхностных слоях полупроводников, стекловидных металлов и биологических материалов. Значения  $\bar{R}_p$  в зависимости от потери энергии  $\alpha$ -частиц и химических составов исследуемых материалов представлены в таблицах. Установлено, в каких пределах лежат значения  $\bar{R}_p$  для различных соединений.

Работа выполнена в Лаборатории нейтронной физики ОИЯИ.

Сообщение Объединенного института ядерных исследований. Дубна 1978

Bogáncs J., Nagy A., Szabo A.

P11 - 11800

Calculation of  $\alpha$ -Particle Ranges in Multicomponent Substances

A method for calculating  $\alpha$ -particle ranges ( $\bar{R}$ ) in multicomponent substances is described on the basis of  $dE/dx$ . The aim of the present work is to obtain the B concentration and its distribution in thin skin surfaces of semiconductors, glass metals and biological objects.  $R_p$  values versus  $\alpha$ -particle energy losses and chemical compounds of substances under investigation are shown in tables. The  $\bar{R}_p$  limits for different compounds are given.

The investigation has been performed at the Laboratory of Neutron Physics, JINR.

Communication of the Joint Institute for Nuclear Research. Dubna 1978

## ВВЕДЕНИЕ

В предыдущих работах<sup>/1-6/</sup> были изложены результаты исследований по определению концентрации и распределения бора в кремнии. Используемая методика основана на измерении потерь энергии  $\alpha$ -частиц, освобождающихся в реакции  $^{10}\text{B}(n, \alpha)^7\text{Li}$ .  $^{10}\text{B}^+$  вводился в образцы путем ионной бомбардировки в области энергии имплантации 20-80 кэВ.

Для определения пробегов ( $\bar{R}_p$ ) ионов бора, имплантированных в кремний, использовалась приближенная формула:

$$\bar{R}_p = 3,46 \cdot 10^{-3} \cdot \Delta E_\alpha,$$

где  $\Delta E_\alpha$  - измеренные потери энергии  $\alpha$ -частиц /кэВ/, формула применима для  $\Delta E_\alpha \leq 100$  кэВ;  $\bar{R}_p$  - в мкм. В более общем виде

$$\bar{R}_p = \int_{E_0}^{E_0 - \Delta E_\alpha} (dE/dx)^{-1} dE. \quad /1/$$

Для расчета тормозной способности ( $dE/dx$ ) различных материалов значения тормозных сечений ( $\epsilon_\alpha$ ) были заимствованы из работы<sup>/7/</sup>:

$$\epsilon_\alpha = \frac{dE}{dS} = \frac{1}{N} \cdot \frac{dE}{dx} = \sum_{n=0}^5 a_n E^n,$$

где  $dE/dS$  - потеря энергии, отнесенная к поверхностным плоскостям /атом·см<sup>-2</sup>/, N - число атомов в одном см<sup>3</sup> материала,  $a_n$  - коэффициенты полуэмпирического полинома.

Так как в работе <sup>7/</sup> величины  $\epsilon_a$  даны в единицах  $\text{эВ} \cdot 10^{-15} \cdot \text{атом} \cdot \text{см}^{-2}$ , то при расчетах тормозных способностей ( $dE/dx$ ) были применены переводные коэффициенты. Так, например, в случае кремния:  $N = 5,024 \cdot 10^{22} \text{ атом} \cdot \text{см}^{-3}$ , а коэффициенты для  $a$ -частиц  $a_0 = 291,24$ ,  $a_1 = 0,2843$ ,  $a_2 = -3,9016 \cdot 10^{-4}$ ,  $a_3 = 1,8292 \cdot 10^{-7}$ ,  $a_4 = -3,8303 \cdot 10^{-11}$ ,  $a_5 = 3,0119 \cdot 10^{-15}$ .

На практике часто встречаются задачи, решение которых требует определений пробегов заряженных частиц в многокомпонентных веществах. Так, например, перед нами ставилась задача определения концентрации и распределения бора по глубине в различных полупроводниковых ( $\text{Si}$ ,  $\text{SiO}_2$ ) материалах и так называемых стекловидных металлах, имеющих общий элементный состав  $\text{Fe}_a \text{Ni}_b \text{Cr}_c \text{P}_d \text{B}_e$  ( $a + b + c \approx 80$ ,  $d + e \approx 20$ ).

Наряду с этими веществами изучалось стекло марки ЗС-5 для вакуумных ламп и приборов, имеющее следующий состав:  $\text{SiO}_2 - 68\%$ ,  $\text{B}_2\text{O}_3 - 20\%$ ,  $\text{Al}_2\text{O}_3 - 3\%$ ,  $\text{Na}_2\text{O} - 4\%$  и  $\text{K}_2\text{O} - 5\%$ . Этому составу соответствует приблизительно "химическое соединение"  $\text{Si}_{212} \text{Al}_{10} \text{Na}_{24} \text{K}_{20} \text{O}_{625} \text{B}_{109}$ .

Измерялась также концентрация бора в растительном веществе - листьях кукурузы. Приблизительный химический состав -  $\text{H}_{51} \text{C}_{23} \text{O}_{26}$  был затем, уже после определения концентрации бора, уточнен:  $\text{C}_{23} \text{O}_{26} \text{H}_{50} \text{B}$ .

### МЕТОДИКА РАСЧЕТОВ $\bar{R}_p$ ДЛЯ РАЗЛИЧНЫХ ВЕЩЕСТВ

Расчет  $\bar{R}_p$  для многокомпонентных веществ проводится методом численного интегрирования, который можно иллюстрировать на примере  $\text{SiO}_2$ . Для проведения расчетов в табл. 1 даны исходные константы для интересующих нас элементов <sup>7/</sup>.

Величина  $dE/dx$  для  $\text{SiO}_2$  определяется по формуле:

$$\frac{dE}{dx} = n' \left( 2 \sum_{i=0}^5 a_i E^i + \sum_{i=0}^5 b_i E^i \right),$$

$a_i$  - исходные константы для кислорода, взятые из табл. 1,  $b_i$  - исходные константы для кремния, взятые

из табл. 1,  $n'$  - число "молекул" в одном  $\text{см}^3$ , поделенное на величину  $10^{-22}$ :

$$n' = \frac{A \cdot S}{M} \cdot 10^{-22},$$

где  $A$  - число Авогадро,  $S$  - удельный вес,  $M$  - молекулярный вес.

В случае  $\text{SiO}_2$   $n' = 2,197 \text{ молекул} \cdot \text{см}^{-3}$ . Коэффициенты полуэмпирического полинома для  $\text{SiO}_2$  получены следующим образом:

$$\begin{aligned} c_0 &= 2,197 / 2 \cdot 2,590 \cdot 10^1 / = 241,16, \\ c_1 &= 2,197 / 2 \cdot 7,330 \cdot 10^{-2} + 5,659 \cdot 10^{-2} / = 0,44600, \\ c_2 &= 2,197 / 2 \cdot -8,050 \cdot 10^{-5} + -7,766 \cdot 10^{-5} / = \\ &= -5,2434 \cdot 10^{-4}, \\ c_3 &= 2,197 / 2 \cdot 3,517 \cdot 10^{-8} + 3,641 \cdot 10^{-8} / = 2,3453 \cdot 10^{-7}, \\ c_4 &= 2,197 / 2 \cdot -7,100 \cdot 10^{-12} + -7,624 \cdot 10^{-12} / = \\ &= -4,7947 \cdot 10^{-11}, \\ c_5 &= 2,197 / 2 \cdot 5,462 \cdot 10^{-16} + 5,995 \cdot 10^{-16} / = 3,7171 \cdot 10^{-15}. \end{aligned}$$

Формула  $\frac{dE}{dx}$  для  $\text{SiO}_2$ :  $\frac{dE}{dx} = \sum_{i=0}^5 c_i E^i$ .

$$\begin{aligned} \frac{dE}{dx} &= 241,16 E^0 + 0,4460 E^1 - 5,2434 \cdot 10^{-4} E^2 + 2,3453 \cdot 10^{-7} E^3 - \\ &- 4,7547 \cdot 10^{-11} E^4 + 3,7171 \cdot 10^{-15} E^5. \end{aligned}$$

Расчеты  $\bar{R}_p$  на основе полученных  $dE/dx$  проводились на ЭВМ БЭСМ-6 по приведенной ниже программе.

### РЕЗУЛЬТАТЫ И ВЫВОДЫ

Таблица 2 показывает полученные величины  $\bar{R}_p$  для  $\text{SiO}_2$  в мкм. Первая величина соответствует энергии /1471-1/ кэВ, а последняя - /1471-300/ кэВ.

На рисунке показаны зависимости  $R_p$  от потерь энергий  $a$ -частиц в некоторых материалах.

Для остальных исследуемых нами веществ значения  $\bar{R}_p$  даны в табл. 3.

Из табл. 2 и 3 и рисунка видно, в каких пределах лежат значения  $\bar{R}_p$  для различных соединений.

## ПРОГРАММА

```

C
C PROGRAM FOR THE CALCULATION OF MAIN PROJECTED RANGE
C FOR L()L KEV ALPHA PARTICLES IN SI02
C RESULTS ARE GIVEN IN MICRON
C
C      DIMENSION RESO(300,2)
      EXTERNAL FUNCT
      COMMON/BLOC1/ A(2,6),KK
      DATA((A(I,J),I=1,2),J=1,6)=241.16,1.,0.44600,1.,-5.2434E-4,1.,
* 2.3453E-7,1.,-4.7947E-11,1.,3.7171E-15,1.)
      DO 4 J=1,2
      KK=J
      E01=1471.
      EL=E01
      DO 4 I=1,300
      AO=E01
      EL=EL-1.
      REPS1=0.005
      AEPS1=1.E-18
      H1=0.1
      CALL SIMPS(AO,EL,H1,REPS1,AEPS1,FUNCT,R,RES,IH ,IABS)
      RESO(1,J)=RES
4     CONTINUE
      PRINT 8
      FORMAT(1H1,///40X,40HMAINRP IN THE CASE OF ZIEGLER,S POLINOME//)
      PRINT 10,(RESO(I,1),I=1,300)
10    FORMAT(10(1X,E11.4))
      END
      FUNCTION FUNCT(R)
      COMMON/BLOC1/ A(2,6),KK
      FUNCT=0.
      Z=-1.
      DO 2 I=1,6
      Z=Z+1
      FUNCT=FUNCT+A(KK,I)*(R**Z)
2     CONTINUE
      FUNCT=-1./FUNCT
      RETURN
      END

```

Таблица 1  
Коэффициенты для определения  $\bar{R}_p$

Порядковый номер	Элемент	$E^0$	$E^1$	$E^2$	$E^3$	$E^4$	$E^5$
5	B	$2.608 \cdot 10^1$	$2.934 \cdot 10^{-2}$	$-3.808 \cdot 10^{-5}$	$1.719 \cdot 10^{-8}$	$-3.507 \cdot 10^{-12}$	$2.709 \cdot 10^{-16}$
6	C	$1.595 \cdot 10^1$	$6.935 \cdot 10^{-2}$	$-7.659 \cdot 10^{-5}$	$3.379 \cdot 10^{-8}$	$-6.859 \cdot 10^{-12}$	$5.291 \cdot 10^{-16}$
8	O	$2.590 \cdot 10^1$	$7.330 \cdot 10^{-2}$	$-8.050 \cdot 10^{-5}$	$3.517 \cdot 10^{-8}$	$-7.100 \cdot 10^{-12}$	$5.462 \cdot 10^{-16}$
11	N <sub>a</sub>	$3.329 \cdot 10^1$	$3.227 \cdot 10^{-2}$	$-2.979 \cdot 10^{-5}$	$1.088 \cdot 10^{-8}$	$-1.918 \cdot 10^{-12}$	$1.339 \cdot 10^{-16}$
13	Al	$5.594 \cdot 10^1$	$6.773 \cdot 10^{-4}$	$-4.752 \cdot 10^{-6}$	$3.401 \cdot 10^{-10}$	$2.662 \cdot 10^{-13}$	$-4.046 \cdot 10^{-17}$
14	Si	$5.797 \cdot 10^1$	$5.659 \cdot 10^{-2}$	$-7.756 \cdot 10^{-5}$	$3.641 \cdot 10^{-8}$	$-7.624 \cdot 10^{-12}$	$5.995 \cdot 10^{-16}$
15	P	$4.729 \cdot 10^1$	$7.415 \cdot 10^{-2}$	$-8.848 \cdot 10^{-5}$	$4.009 \cdot 10^{-8}$	$-8.329 \cdot 10^{-12}$	$6.570 \cdot 10^{-16}$
19	K	$4.869 \cdot 10^1$	$1.351 \cdot 10^{-1}$	$-1.454 \cdot 10^{-4}$	$6.175 \cdot 10^{-8}$	$-1.208 \cdot 10^{-11}$	$9.000 \cdot 10^{-16}$
24	Cr	$5.064 \cdot 10^1$	$1.108 \cdot 10^{-1}$	$-1.156 \cdot 10^{-4}$	$4.910 \cdot 10^{-8}$	$-9.690 \cdot 10^{-12}$	$7.290 \cdot 10^{-16}$
26	Fe	$4.436 \cdot 10^1$	$1.375 \cdot 10^{-1}$	$-1.431 \cdot 10^{-4}$	$6.102 \cdot 10^{-8}$	$-1.203 \cdot 10^{-11}$	$9.011 \cdot 10^{-16}$
28	Ni	$4.159 \cdot 10^1$	$9.779 \cdot 10^{-2}$	$-9.119 \cdot 10^{-5}$	$3.732 \cdot 10^{-8}$	$-7.482 \cdot 10^{-12}$	$5.893 \cdot 10^{-16}$

Таблица 2

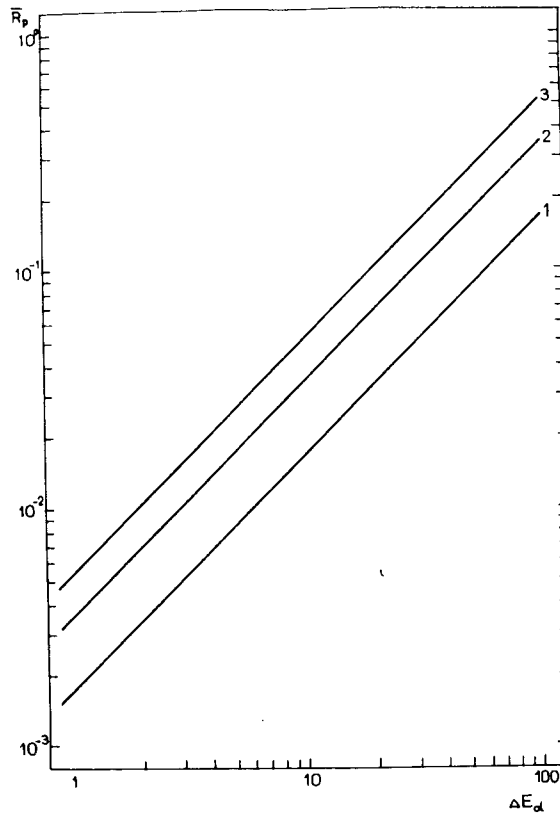
Значения  $\bar{R}_p$  для  $\text{SiO}_2$  в зависимости от потери энергии  
 $\alpha$ -частиц  $\Delta E = 10(j-1) + i$  /кэВ/, j - номер строки,  
i - номер столбца.

i	1	2	3	4	5	6	7	8	9	10
I	3.2227-03	6.4443-03	9.6650-03	1.2885-02	1.6103-02	1.9321-02	2.2537-02	2.5753-02	2.8968-02	3.2181-02
2	3.5394-02	3.8605-02	4.1816-02	4.5025-02	4.8234-02	5.1441-02	5.4648-02	5.7853-02	6.1058-02	6.4261-02
3	6.7464-02	7.0665-02	7.3866-02	7.7065-02	8.0264-02	8.3461-02	8.6658-02	8.9853-02	9.3048-02	9.6241-02
4.	9.9434-02	1.0263-01	1.0562-01	1.0901-01	1.1219-01	1.1538-01	1.1857-01	1.2175-01	1.2494-01	1.2812-01
5	1.3130-01	1.3449-01	1.3767-01	1.4085-01	1.4402-01	1.4720-01	1.5038-01	1.5355-01	1.5673-01	1.5990-01
6	1.6308-01	1.6625-01	1.6942-01	1.7259-01	1.7576-01	1.7892-01	1.8209-01	1.8526-01	1.8842-01	1.9158-01
7	1.9475-01	1.9791-01	2.0107-01	2.0423-01	2.0739-01	2.1055-01	2.1370-01	2.1686-01	2.2001-01	2.2317-01
8.	2.2632-01	2.2947-01	2.3263-01	2.3578-01	2.3892-01	2.4207-01	2.4522-01	2.4837-01	2.5151-01	2.5466-01
9	2.5780-01	2.6094-01	2.6408-01	2.6722-01	2.7036-01	2.7350-01	2.7664-01	2.7978-01	2.8291-01	2.8605-01
10.	2.8918-01	2.9231-01	2.9544-01	2.9857-01	3.0170-01	3.0483-01	3.0796-01	3.1109-01	3.1421-01	3.1734-01
II	3.2046-01	3.2359-01	3.2671-01	3.2983-01	3.3295-01	3.3607-01	3.3919-01	3.4231-01	3.4542-01	3.4854-01
12	3.5165-01	3.5477-01	3.5788-01	3.6099-01	3.6410-01	3.6721-01	3.7032-01	3.7343-01	3.7654-01	3.7964-01
I3	3.8275-01	3.8585-01	3.8895-01	3.9206-01	3.9516-01	3.9826-01	4.0136-01	4.0446-01	4.0755-01	4.1065-01
I4	4.1375-01	4.1684-01	4.1994-01	4.2303-01	4.2612-01	4.2921-01	4.3230-01	4.3539-01	4.3848-01	4.4157-01
I5	4.4465-01	4.4774-01	4.5082-01	4.5391-01	4.5699-01	4.6007-01	4.6315-01	4.6623-01	4.6931-01	4.7239-01
I6.	4.7547-01	4.7854-01	4.8162-01	4.8469-01	4.8777-01	4.9084-01	4.9391-01	4.9698-01	5.0005-01	5.0312-01
I7	5.0619-01	5.0926-01	5.1232-01	5.1539-01	5.1845-01	5.2152-01	5.2458-01	5.2764-01	5.3070-01	5.3376-01
I8	5.3682-01	5.3988-01	5.4294-01	5.4599-01	5.4905-01	5.5210-01	5.5516-01	5.5821-01	5.6126-01	5.6431-01
I9	5.6736-01	5.7041-01	5.7346-01	5.7651-01	5.7955-01	5.8260-01	5.8564-01	5.8869-01	5.9173-01	5.9477-01
20	5.9781-01	6.0085-01	6.0389-01	6.0693-01	6.0997-01	6.1301-01	6.1604-01	6.1908-01	6.2211-01	6.2514-01
21	6.2818-01	6.3121-01	6.3424-01	6.3727-01	6.4030-01	6.4332-01	6.4635-01	6.4938-01	6.5240-01	6.5543-01
22	6.5845-01	6.6147-01	6.6450-01	6.6752-01	6.7054-01	6.7356-01	6.7657-01	6.7959-01	6.8261-01	6.8562-01
23	6.8864-01	6.9165-01	6.9467-01	6.9768-01	7.0069-01	7.0370-01	7.0671-01	7.0972-01	7.1273-01	7.1573-01
24	7.1874-01	7.2175-01	7.2475-01	7.2775-01	7.3076-01	7.3376-01	7.3676-01	7.3976-01	7.4276-01	7.4576-01
25	7.4876-01	7.5175-01	7.5475-01	7.5775-01	7.6074-01	7.6373-01	7.6673-01	7.6972-01	7.7271-01	7.7570-01
26	7.7869-01	7.8168-01	7.8467-01	7.8765-01	7.9064-01	7.9363-01	7.9661-01	7.9959-01	8.0258-01	8.0556-01
27	8.0854-01	8.1152-01	8.1450-01	8.1748-01	8.2046-01	8.2343-01	8.2641-01	8.2939-01	8.3236-01	8.3533-01
28	8.3831-01	8.4128-01	8.4425-01	8.4722-01	8.5019-01	8.5316-01	8.5613-01	8.5910-01	8.6206-01	8.6503-01
29	8.6799-01	8.7096-01	8.7392-01	8.7688-01	8.7984-01	8.8280-01	8.8577-01	8.8872-01	8.9168-01	8.9464-01
30	8.9760-01	9.0055-01	9.0351-01	9.0646-01	9.0942-01	9.1237-01	9.1532-01	9.1827-01	9.2122-01	9.2417-01

Таблица 3

Значения  $\bar{R}_p$  в зависимости от потери энергии

Химический состав	$\bar{R}_p$ [мкм] при потере энергии			
	1 кэВ	10 кэВ	100 кэВ	300 кэВ
$B_{20} Fe_{80}$	$1,6376 \cdot 10^{-3}$	$1,6358 \cdot 10^{-2}$	$1,6180 \cdot 10^{-1}$	$4,7449 \cdot 10^{-1}$
$B_{17} Fe_{83}$	$1,6138 \cdot 10^{-3}$	$1,6120 \cdot 10^{-2}$	$1,5945 \cdot 10^{-1}$	$4,6766 \cdot 10^{-1}$
$Ni_{36} Fe_{32} Cr_{14} P_{12} B_6$	$1,6238 \cdot 10^{-3}$	$1,6223 \cdot 10^{-2}$	$1,6081 \cdot 10^{-1}$	$4,7382 \cdot 10^{-1}$
$Fe_{40} Ni_{40} B_{20}$	$1,6000 \cdot 10^{-3}$	$1,5987 \cdot 10^{-2}$	$1,5863 \cdot 10^{-1}$	$4,6845 \cdot 10^{-1}$
$Fe_{50} P_{40} B_{10}$	$1,6510 \cdot 10^{-3}$	$1,6492 \cdot 10^{-2}$	$1,6312 \cdot 10^{-1}$	$4,7837 \cdot 10^{-1}$
$Si_{12} B_{10} Al_{10} Na_{24} K_{10} O_{625}$	$2,4899 \cdot 10^{-3}$	$2,4885 \cdot 10^{-2}$	$2,4747 \cdot 10^{-1}$	$7,3372 \cdot 10^{-1}$



Зависимость пробегов ионов бора /в мкм/ от потери энергии /кэВ/  $\alpha$ -частиц. 1 -  $Fe_{40}Ni_{40}P_{14}B_6$ ,  $\rho = 7,4 \text{ г.см}^{-3}$ ; 2 - Si,  $\rho = 2,3 \text{ г.см}^{-3}$ ; 3 -  $H_{50}C_{23}O_{26}B$ ,  $\rho = 1,0 \text{ г см}^{-3}$ .

Например, отношение величины  $\bar{R}_p$  при потере энергии 100 кэВ в случае  $B_{20}Fe_{80}$  и Si

$$\frac{\bar{R}_p(B_{20}Fe_{80})}{\bar{R}_p(Si)} = \frac{0,16180}{0,34067} = 0,475.$$

Таким образом, пробег  $\alpha$ -частиц с энергией 1,47 МэВ в кремнии составляет приблизительно 5 мкм, в металлических стеклах - только 2±2,5 мкм.

В рамках данной работы мы не обсуждаем причин расхождений рассчитанных по формуле /1/ значений и экспериментальных данных. Эти вопросы подробно дискутируются в работах /8-22/.

Отметим, что концентрация бора в измеренных образцах, определенная на основе расчетных  $dE/dx$ , хорошо согласуется с теоретическим содержанием бора, рассчитанным по химическому составу.

## ЛИТЕРАТУРА

1. Боганч Я. и др. ОИЯИ, Р14-8295, Дубна, 1974.
2. Боганч Я. и др. Isotopenpraxis, 1975, 11(12), p.429-432.
3. Боганч Я. и др. ОИЯИ, Р3-10777, Дубна, 1977.
4. Nagy A. e.a. Izotopechnika, 1977, 20, pp.53-71.
5. Nagy A.Z. e.a. J.Radioanal.Chem., 1977, 38, pp.19-27.
6. Bogancs J. e.a. Radiochem. Radioanal. Lett., 1978, 32 (1-2), p.71-82.
7. Ziegler J.F., Chu W.K. Atomic Data and Nuclear Data Tables, 1974, 13 (5).
8. Bichsel H., Tschalaer G. Nuclear Data Tables, 1967, A3, p.343.
9. Northcliffe L.C., Schilling R.F. Nuclear Data Tables, 1970, A7, p.233.
10. Armstrong T.W., Chandler K.C. Calculation of Stopping Power and Ranges for Muons, Charged Pions, Protons and Heavy Ions. ORNL, 1973, CCC-228.
11. Немец О.Ф., Гофман Ю.В. Справочник по ядерной физике. "Наукова думка", Киев, 1975.
12. Ziegler J.F., Cole G.W., Baglin J.E.E. J.Appl.Phys., 1972, 43, p.3809.
13. Eisen F.H. e.a. Radiat. Eff., 1972, 13, p.93.
14. Thompson D.A., Macintosh W.D. J.Appl.Phys., 1971, 42, p.396.
15. Chu W.K., Powers D. Phys. Rev., 1969, 187, p.478.
16. Inokuti M. Rev.Mod. Phys., 1972, 43, p.297.
17. Cheshire I.M., Poate I.M. Atomic Collision Phenomena in Solids. North-Holland, Amsterdam, 1970, p.351.
18. Janni J.F. Air Force Weapons Lab. Report AFWL-TR-65, 1966, p.150.
19. Bourland P.D., Chu W.K., Powers D. Phys. Rev., 1971, B3, p.3625.

20. Rousseau C.C., Chu W.R., Powers D. Phys. Rev., 1971, A4, p.1066.
21. Feng J.S.Y. e.a. Thin Solid Films, 1973, 19, p.195.
22. Linhard J., Winther A. Kgl. Danske Videnskab. Selskab. Mat. Fys. Medd., 1964, 34, No. 4.

Рукопись поступила в издательский отдел  
25 июля 1978 года.